

DOI: <https://doi.org/10.30898/1684-1719.2025.4.15>

УДК: 621.396.67

МНОГОЛУЧЕВАЯ ЗЕРКАЛЬНО-ЛИНЗОВАЯ АПЛАНАТИЧЕСКАЯ АНТЕННА

А.С. Венецкий¹, В.А.Калошин¹, Чинь Ван Туан²

¹Институт радиотехники и электроники им. В.А. Котельникова РАН,
125009, Москва, ул. Моховая, 11, стр. 7

²Московский физико-технический институт
(Национальный исследовательский университет),
141700, Моск. обл., г. Долгопрудный, Институтский пер., 9

Статья поступила в редакцию 18 апреля 2025 г.

Аннотация. Найдено приближенное аналитическое решение задачи синтеза образующих интегральной осесимметричной апланатической зеркально-линзовой системы в виде рядов по степеням радиуса. Для частного случая системы с расположением источника на поверхности линзы решение задачи синтеза сведено к дифференциальному уравнению, с использованием которого также получено приближенное аналитическое решение. Найдена формула для основной аберрации – астигматизма системы. На основе полученной формулы проведена оптимизация системы и найдены оптимальные значения параметров, обеспечивающих минимальную среднеквадратическую аберрацию. С использованием численного моделирования проведен анализ характеристик антенны на основе оптимизированной осесимметричной апланатической зеркально-линзовой системы.

Ключевые слова: апланатическая система, среднеквадратическая аберрация, оптимизация, зеркально-линзовая антенна, многолучевая антенна.

Финансирование: Работа выполнена за счет бюджетного финансирования в рамках государственного задания по теме 0030-2019-006.

Автор для переписки: Калошин Вадим Анатольевич, vak@cplire.ru

Введение

Широко известные оптические апланатические зеркально-линзовые системы Шмидта и Максудова [1-3] удовлетворяют условиям апланатизма (условиям синусов Аббе) только приближенно (в параксиальном приближении), а анализ aberrаций в них проводился в узком секторе углов наблюдения и, как правило, для малых угловых размеров апертуры. При этом линза и зеркало в этих системах имеют отдельные конструкции.

Планарная зеркально-линзовая антенна с интегральной конструкцией (одна из поверхностей линзы является отражающей), точно удовлетворяющая условиям синусов Аббе, синтезирована в [4].

В работе [5] развиты две численно-аналитические методики синтеза осесимметричной зеркально-линзовой системы интегральной конструкции, точно удовлетворяющей условиям синусов Аббе и получена приближенная формула для распределения эйконала на выходной поверхности линзы. Проведено исследование точности формулы и численная оптимизация параметров, обеспечивающая минимум среднеквадратической aberrации эйконала. При этом в процессе решения задачи оптимизации параметров предварительно решалась задача синтеза.

Целью данной работы является нахождение приближенного аналитического решения задачи синтеза образующих интегральной осесимметричной зеркально-линзовой системы в виде рядов по степеням радиуса, с использованием полученного решения вывод формулы для астигматизма системы, оптимизации параметров с использованием полученной формулы, а также анализ многолучевой антенны на основе оптимизированной системы с использованием численного моделирования.

1. Синтез зеркально-линзовой системы

Рассмотрим задачу синтеза апланатической зеркально-линзовой системы (рис. 1), содержащую осесимметричную диэлектрическую линзу, первая из поверхностей которой – преломляющая, а вторая – отражающая,

и источник, расположенный в фокусе (точке O). Введем следующие обозначения: f_0 – фокальное расстояние (от фокуса до поверхности линзы), d_0 – толщина линзы (расстояние между от первой до второй поверхности вдоль оси Z), n – показатель преломления материала линзы.

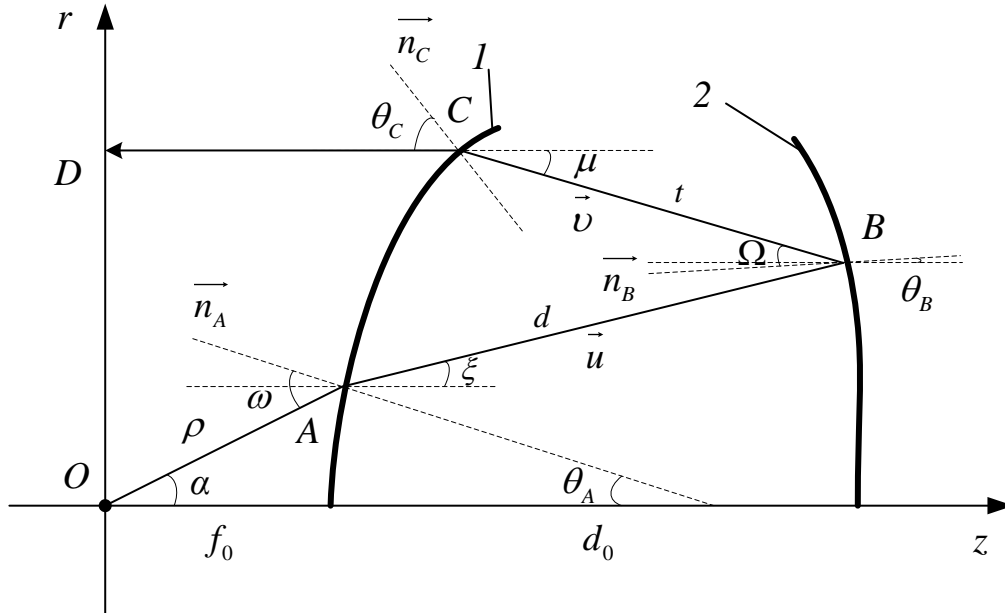


Рис. 1. Зеркально-линзовая система:
 $z = f(r)$ – кривая 1, $Z = F(R)$ – кривая 2.

Зеркально-линзовая система преобразует сферический фронт из источника в фокусе в плоский фронт, при условии выполнения условия апланатизма:

$$r_c = \gamma \sin \alpha, \tag{1}$$

где $\alpha = \arctg(r_A / z_A(r_A))$ – угол между осью Z и выходящим лучом \overline{OA} , $\gamma = f_0 + kd_0$ – апланатический радиус, k – параметр, $0 \leq k \leq 2$.

Будем искать образующие преломляющей и отражающей поверхностей в виде рядов:

$$z = f_0 + f_2 r^2 + f_4 r^4 + \dots, \tag{2}$$

$$Z = f_0 + d_0 + F_2 R^2 + F_4 R^4 + \dots. \tag{3}$$

Опишем алгоритм нахождения коэффициентов рядов в формулах (1, 2).

Из условия апланатизма (3) следует:

$$\arcsin \frac{r_C}{\gamma} = \operatorname{arctg} \frac{r_A}{f(r_A)}. \quad (4)$$

Из соотношения (4) можно получить разложение:

$$r_C = r_{C1}r_A + r_{C3}r_A^3 + \dots, \quad (5)$$

где $r_{C1} = \gamma / f_0$, $r_{C3} = -\frac{\gamma}{f_0^3} \left(\frac{1}{2} + f_2 f_0 \right)$.

Из закона преломления $\sin(\alpha + \theta_A) = n \sin(\xi + \theta_A)$ можно найти угол ξ :

$$\xi = \arcsin \left(\frac{\sin(\alpha + \theta_A)}{n} \right) - \theta_A,$$

где $\theta_A = \operatorname{arctg}(f'(x_A))$. Выражение для ξ также можно представить в виде ряда:

$$\xi = k_1 r_A + k_3 r_A^3 + \dots, \quad (6)$$

где коэффициенты k_1 и k_3 будут определены ниже.

Найдем длину d вектора $|\overrightarrow{AB}|$ из условия равенства эйконалов лучей на выходе системы:

$$|\overrightarrow{OA}| + nd + n|\overrightarrow{BC}| + z_C = L_0, \quad (7)$$

где $L_0 = 2f_0 + 2nd_0$ – эйконал центрального луча. Зная координаты точки B , уравнение (7) можно записать в виде:

$$|\overrightarrow{OA}| + nd + n\sqrt{P^2 + 2dQ + d^2} + z_C = L_0, \quad (8)$$

где $z_C = f(r_C)$, $P^2 = (r_C - r_A)^2 + (z_C - z_A)^2$, $Q = (z_A - z_C) \cos \xi + (r_A - r_C) \sin \xi$,
 $R_B = r_A + d \sin \xi$, $Z_B = z_A + d \cos \xi$.

Из уравнения (8) следует:

$$d = \frac{W^2 - P^2}{2(Q + W)},$$

где $W = (L_0 - |\overline{OA}| - z_C) / n$, $|\overline{BC}| = W - d$.

Компоненты единичного вектора луча:

$$\vec{v} = (v_1, v_2) = \frac{\overline{BC}}{|\overline{BC}|} = \left(\frac{r_C - r_A - d \sin \xi}{|\overline{BC}|}, \frac{z_C - z_A - d \cos \xi}{|\overline{BC}|} \right). \quad (9)$$

Из закона преломления в точке C $n \sin(\theta_C - \mu) = \sin \theta_C$, где $\operatorname{tg} \theta_C = f'(r_C)$,

можно найти производную $f'(r_C) = \frac{-v_1}{1/n + v_2}$, которую после разложения

компонент вектора (9) по степеням x_A можно записать в виде:

$$f'(r_C) = \frac{nv_{11}}{(n-1)d_0} r_A + \frac{n}{(n-1)d_0} \left[v_{13} + \frac{nv_{11}v_{22}}{(n-1)d_0} \right] r_A^3 + \dots, \quad (10)$$

где $v_{11} = \Delta r_1 - d_0 k_1$, $\Delta r_1 = \gamma / f_0 - 1$, $k_1 = \frac{1}{n} \left(\frac{1}{f_0} + 2f_2(1-n) \right)$, а v_{13} , v_{22} будут приведены

ниже.

Из разложения (1) следует:

$$f'(r_C) = 2f_2 r_C + 4f_4 r_C^3 + \dots, \quad (11)$$

Подставляя в (11) разложение (5), получаем:

$$f'(r_C) = \frac{2f_2 \gamma}{f_0} r_A + \frac{\gamma [4f_4 \gamma^2 - 2f_2 (1/2 + f_2 f_0)]}{f_0^3} r_A^3. \quad (12)$$

Приравнивая коэффициенты при r_A в (10) и (12), получаем линейное уравнение относительно f_2 , из которого находим:

$$f_2 = \frac{n(\gamma - f_0) - d_0}{2d_0(\gamma - f_0)(n - 1)}.$$

Приравнивая коэффициенты при r_A^3 в (10) и (12), находим:

$$f_4 = \frac{1}{4(\gamma^3 - f_0^3)} \left[\gamma f_2 (1 + 2f_2 f_0) + \frac{f_0^3 n}{d_0 (n - 1)} \left(v_{13} + \frac{nv_{11}v_{22}}{(n - 1)d_0} \right) \right],$$

где $v_{13} = \Delta r_3 + D_2 k_1 - d_0 k_3 - \frac{\Delta r_1 (D_2 - W_2)}{d_0}$, $v_{22} = \Delta z_2 + d_0 k_1^2 / 2 + 2D_2 - W_2$, $v_{11} = \Delta r_1 - d_0 k_1$,

$$D_2 = \frac{1}{4d_0} (WP_2 + 2d_0(Q_2 - W_2)), \quad WP_2 = 4d_0W_2 + P_2, \quad W_2 = (OA_2 + ZC_2) / n, \quad ZC_2 = \frac{\gamma^2 f_2}{f_0^2},$$

$$P_2 = \left(\frac{\gamma}{f_0} - 1\right)^2, \quad OA_2 = \frac{1}{2f_0} (1 + 2f_0 f_2), \quad \Delta r_3 = -\frac{\gamma}{f_0^3} (1/2 + f_2 f_0), \quad \Delta z_2 = f_2 \left(\frac{\gamma^2}{f_0^2} - 1\right),$$

$$k_3 = 4f_4(1/n - 1) + k_3, \quad Q_2 = -\Delta z_2 - \Delta r_1 k_1, \quad P_4 = f_2^2 \left(\frac{\gamma^2}{f_0^2} - 1\right)^2 - \frac{\gamma}{f_0^3} \left(\frac{\gamma}{f_0} - 1\right) (1 + 2f_2 f_0),$$

$$k_3 = \left[\frac{-8f_2^3}{3} - \frac{1}{f_0^3} \left(\frac{1}{3} + f_2 f_0\right) - \frac{1}{6} \left(\frac{1}{f_0} + 2f_2\right)^3 \right] \frac{1}{n} + \frac{f_2 k_1}{n} \left(\frac{1}{f_0} + 2f_2\right) + 4f_2^3.$$

Используем аналогичную методику для нахождения F_2, F_4 . Имеет место очевидное равенство:

$$\operatorname{tg} \theta_B = -F'(R_B) = -2F_2 R_B - 4F_4 R_B^3 - \dots \quad (13)$$

С другой стороны, из закона отражения луча в точке B следует:

$$\frac{\overrightarrow{e_{CB}} + \vec{u}}{|\overrightarrow{e_{CB}} + \vec{u}|} = (\sin \theta_B, \cos \theta_B), \quad (14)$$

где $\overrightarrow{e_{CB}} = \frac{\overrightarrow{CB}}{|CB|}$, $\vec{u} = (\sin \xi, \cos \xi)$.

С помощью несложных преобразований можно получить:

$$\begin{aligned} \sin \theta_B &= \frac{\operatorname{tg} \theta_B}{\sqrt{1 + \operatorname{tg}^2 \theta_B}} = \frac{-2(F_2 R_B + 2F_4 R_B^3)}{\sqrt{1 + 4F_2^2 R_B^2}} = \\ &= -2(F_2 R_B + 2F_4 R_B^3)(1 - 2F_2^2 R_B^2) = -2[F_2 R_B + 2(F_4 - F_2^3) R_B^3]. \end{aligned}$$

После подстановки в это выражение $R_B = R_{B1} r_A + R_{B3} r_A^3$, находим:

$$\sin \theta_B = -2F_2 R_{B1} r_A - 2[F_2 R_{B3} + 2(F_4 - F_2^3) R_{B1}^3] r_A^3 \quad (15)$$

Используя выражение для вектора $\overline{CB} = \overline{OB} - \overline{OC}$, разложение (6) и разложение (15), разложим члены в левой части (14) по степеням r_A и приравняем коэффициенты при r_A и r_A^3 в левой и правой части уравнения. В результате получаем:

$$F_2 = \frac{n(\gamma^2 - f_0^2) - 2d_0 \gamma}{4d_0^2 \gamma}, \quad F_4 = F_2^3 - \left(\frac{EW_3}{2} + F_2 R_{B3} \right) \frac{1}{2R_{B1}^3},$$

где $EW_3 = \frac{EU_3}{2} - \frac{EU_1}{16} (EU_1^2 + 4EU_2)$, $R_{B3} = d_0 k_3 - D_2 k_1$, $R_{B1} = 1 + d_0 k_1$,

$$EU_1 = \frac{\Delta R_{BC1}}{d_0} + k_1, \quad EU_2 = \frac{\Delta Z_{BC2} - d_0 BC_2}{d_0} - \frac{k_1^2}{2}, \quad EU_3 = \frac{\Delta R_{BC3} - BC_2 \Delta R_{BC1}}{d_0} + k_3,$$

$$\Delta R_{BC1} = R_{B1} - r_{C1}, \quad \Delta Z_{BC2} = Z_{B2} - z_{C2}, \quad BC_2 = \frac{1}{2d_0^2} [(R_{B1} - r_{C1})^2 + 2d_0 (Z_{B2} - z_{C2})],$$

$$\Delta R_{BC3} = R_{B3} - r_{C3}, \quad z_{C2} = \gamma^2 f_2 / f_0^2, \quad Z_{B2} = F_2 R_{B1}^2.$$

На рис. 2 приведены образующие зеркально-линзовой системы при разных значениях параметра f_0/d_0 , вычисленные по полученным формулам.

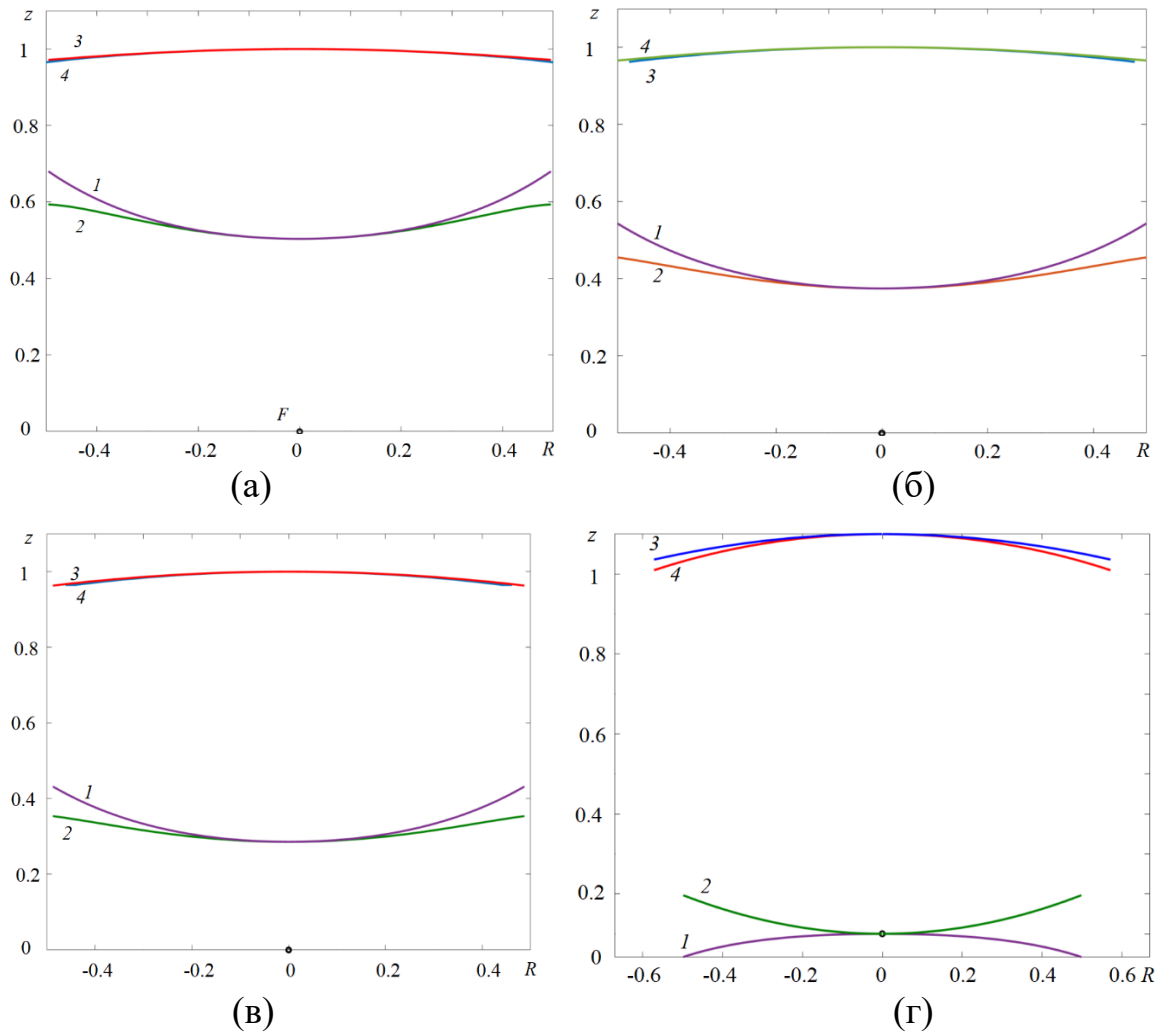


Рис. 2. Образующие зеркально-линзовых систем, найденные аналитическим (1, 3) и численно-аналитическим методом (2, 4): $f_0/d_0 = 1$ (а), 0.6 (б), 0.4 (в), 0 (г).

Для сравнения на рисунке приведены образующие, найденные численно-аналитическим методом [5].

Как видно на рис. 2, формула (2) хорошо аппроксимирует точное решение для образующей зеркала при разных соотношениях f_0/d_0 , кроме случая $f_0 = 0$, а формула (1) для образующей линзы – только в параксиальной области и совершенно не работает при $f_0 = 0$. Поэтому рассмотрим этот важный частный случай, когда облучатель находится на поверхности линзы (рис. 6) и конструкция антенны становится полностью интегральной, отдельно.

Для луча, исходящего из фокуса в точке O и выходящего после преломления в точке C (рис. 3) можно записать:

$$\frac{dr}{d\alpha} = r \operatorname{tg}\left(\frac{\alpha}{2} + \frac{\mu}{2}\right), \quad (16)$$

где величины в правой части уравнения (16) связаны геометрическими соотношениями $r \sin \alpha + t \sin \mu = \gamma \sin \alpha$, $nr + nt + r \cos \alpha - t \cos \mu = 2nd_0$.

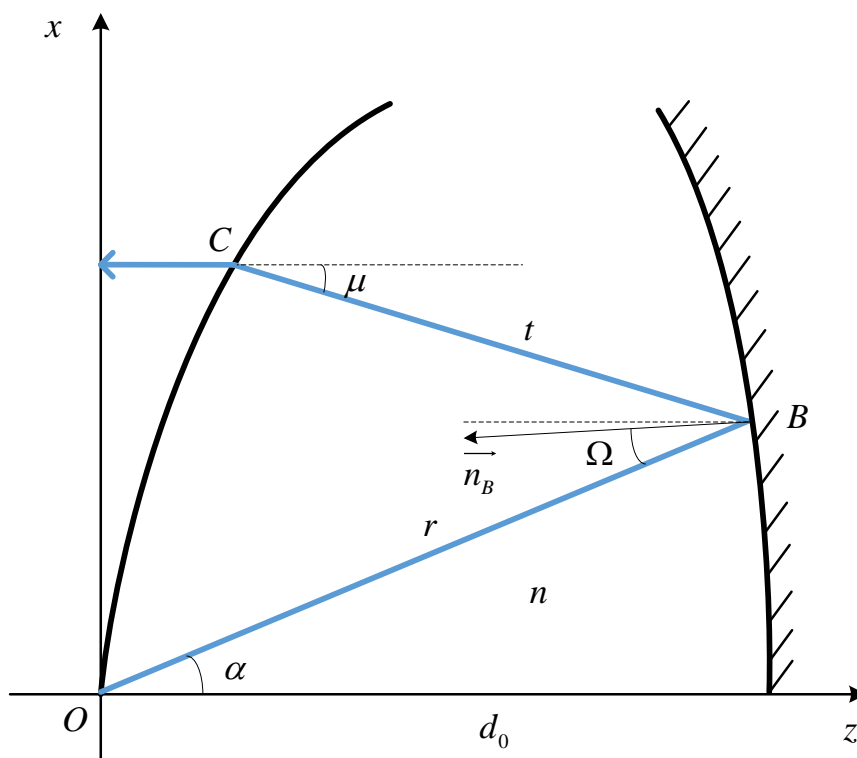


Рис. 3. К выводу дифференциального уравнения для зеркала.

Исключая из последних соотношений t получаем

$$\frac{\sin \mu}{n - \cos \mu} = \frac{(\gamma - r) \sin \alpha}{2nd_0 - r(n + \cos \alpha)}. \quad (17)$$

Уравнение (17) можно записать в виде:

$$P(n+1)q^2 - 2q + P(n-1) = 0,$$

где $P = \frac{(\gamma - r) \sin \alpha}{2nd_0 - r(n + \cos \alpha)}$, $q = \operatorname{tg} \frac{\mu}{2}$.

Из этого уравнения находим:

$$\mu = 2 \operatorname{arctg} \left(\frac{1 - \sqrt{1 - P^2(n^2 - 1)}}{P(n+1)} \right).$$

Подставляя μ в дифференциальное уравнение (16) и решая его численным методом, находим $r(\alpha)$. Зная $r(\alpha)$, находим координаты точки C на поверхности линзы:

$$x_C = \gamma \sin \alpha, \quad z_C = r \cos \alpha - t \cos \mu,$$

где $t = \frac{2nd_0 - r(n + \cos \alpha)}{n - \cos \mu}$.

Найдем приближенное выражение для образующей зеркала $r(\alpha)$ в виде трех членов разложения по степеням α :

$$r = d_0 + R_2\alpha^2 + R_4\alpha^4.$$

Неизвестные коэффициенты R_2, R_4 находим, разлагая левую и правую части дифференциального уравнения (16) в ряд по степеням α и приравнивая коэффициенты при одинаковых степенях. В результате, получаем:

$$R_2 = (1/2 + C_3)d_0/2, \quad R_4 = \frac{1}{4} \left[d_0 \left(Q_3 + \frac{1}{24} + \frac{C_3}{4} + \frac{C_3^2}{2} \right) + R_2(1/2 + C_3) \right],$$

где $Q_3 = \frac{(n-1)Q_2}{2} + \frac{(n-1)^2(n+1)C_2^3}{8}, \quad C_3 = \frac{(n-1)C_2}{2}, \quad C_2 = \frac{\gamma - d_0}{C_1}, \quad C_1 = d_0(n-1),$

$$Q_2 = \frac{d_0 - \gamma - 6R_2}{6C_1} - \frac{Q_1(\gamma - d_0)}{C_1^2}, \quad Q_1 = d_0/2 - R_2(n+1).$$

Образующая линзы определяется из алгебраических соотношений:

$$x_C = r \sin \alpha + t \sin \mu, \quad z_C = r \cos \alpha - t \cos \mu, \quad r = d_0 + R_2\alpha^2 + R_4\alpha^4,$$

где $t = \frac{2nd_0 - r(n + \cos \alpha)}{n - \cos \mu}, \quad \mu = 2\Omega - \alpha, \quad \Omega = \arctg \left(\frac{2R_2\alpha + 4R_4\alpha^3}{d_0 + R_2\alpha^2 + R_4\alpha^4} \right).$

2. Оптимизация апланатической зеркально-линзовой системы

Задача оптимизации зеркально-линзовой системы состоит в нахождении значений ее параметров и фокальной кривой, которые обеспечивают минимальную величину среднеквадратической абберации (СКА) эйконала на выходе системы при смещении источника из фокуса, которую будем определять по формуле:

$$\sigma = \frac{1}{D} \sqrt{\frac{1}{N} \sum_{i=1}^N (L_i - L_0)^2}, \quad (18)$$

где L_i – эйконал луча с номером i , N – количество учтенных лучей, D – диаметр апертуры системы, L_0 – эйконал луча, относительно которого СКА имеет минимальное значение.

Формула для эйконала в произвольной точке A на выходной поверхности зеркально-линзовой системы при смещении источника из фокуса в точку O_1 (рис. 4) с координатами $(-\delta_R \cos \varphi, -\delta_R \sin \varphi, \delta_Z)$ имеет вид [5]:

$$L = \sqrt{A} + A_{1X} \Delta x + A_{1Y} \Delta y + A_{2X} \Delta x^2 + A_{2Y} \Delta y^2 + \\ + nM_{X2} \Delta X^2 + nM_{Y2} \Delta Y^2 + nN_X \Delta x \Delta X + nN_Y \Delta y \Delta Y,$$

где $\sqrt{A} = \rho + \sin \alpha \delta_R \cos \varphi + \cos \alpha \delta_Z + \frac{1}{2\rho} (\delta_R^2 \cos^2 \alpha \cos^2 \varphi + \delta_R^2 \sin^2 \alpha + \delta_Z^2 \sin^2 \alpha - \delta_R \delta_Z \cos \varphi \sin 2\alpha)$,

$$A_{1X} = W \delta_R \cos \varphi \cos \alpha - W \delta_Z \sin \alpha, \quad \Delta x = \frac{-2M_{X2} A_{1X}}{4A_{2X} M_{X2} - nN_X^2}, \quad \Delta y = \frac{-2M_{Y2} Q_{Y1}}{4A_{2Y} M_{Y2} - nN_Y^2},$$

$$A_{2X} = \frac{1}{2 \cos^2(\omega - \alpha)} \left(\frac{\cos^2 \omega}{\rho} + \frac{n^2 - \sin^2 \omega}{nd} \right) + \frac{(\cos \alpha - n \cos \xi)}{2} f_P'', \quad A_{2Y} = \frac{nR_B}{2d \rho \sin \alpha},$$

$$\Delta X = \frac{-N_X \Delta x}{2M_{X2}}, \quad \Delta Y = \frac{-N_Y \Delta y}{2M_{Y2}}, \quad M_{X2} = \frac{\cos^2 \Omega}{2 \cos^2(\Omega - \xi)} \left(\frac{1}{t} + \frac{1}{d} \right) + F_B'' \cos \Omega \cos(\Omega - \xi),$$

$$M_{Y2} = \frac{1}{2d} + \frac{1}{2t} + \frac{\sin(\Omega - \xi) \cos(\Omega)}{R_B}, \quad N_X = \frac{-\cos \Omega \sqrt{n^2 - \sin^2 \omega}}{nd \cos(\omega - \alpha) \cos(\Omega - \xi)}, \quad N_Y = -\frac{1}{d},$$

$$W = \frac{\cos \omega}{\rho \cos(\omega - \alpha)}, \quad Q_{Y1} = \frac{\delta_R \sin \varphi}{\rho}, \quad R_B = \sqrt{X_B^2 + Y_B^2}.$$

В полярных координатах эта формула принимает вид:

$$L(r, \varphi) = L_0 + \delta_R \cos \varphi \sin \alpha + \delta_Z \cos \alpha + \delta_R^2 [L_X(r) \cos^2 \varphi + L_Y(r) \sin^2 \varphi] + \dots, \quad (19)$$

где $\alpha = \arcsin(r / \gamma)$, $L_X(r) = \frac{\cos^2 \alpha}{2\rho} - \frac{M_{X2} \tilde{A}_{1X}^2}{ZN_X}$, $L_Y(r) = \frac{1}{2\rho} - \frac{\tilde{M}_{Y2} \tilde{Q}_{Y1}^2}{ZN_Y}$, $\rho = \sqrt{r_A^2 + z_A^2}$,

$$t = d_0 + (D_2 - W_2)r_A^2, \quad r_A = \frac{r}{r_{C1}} - \frac{r_{C3}}{r_{C1}^3} r, \quad d = d_0 - D_2 r_A^2.$$

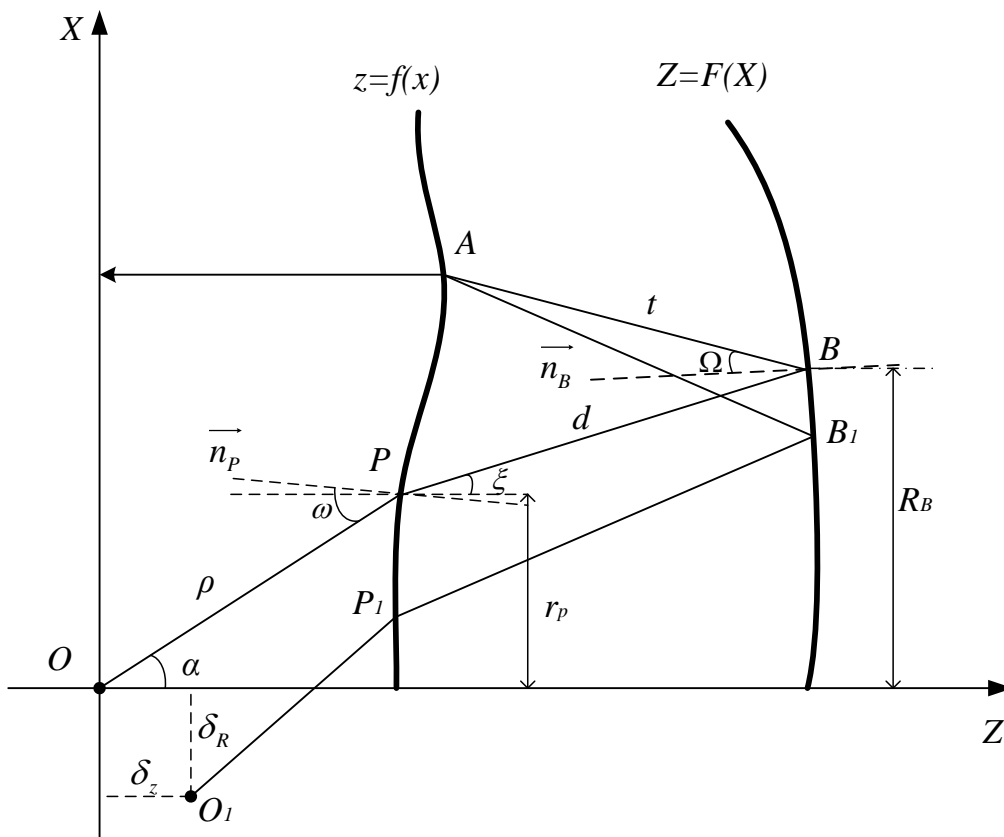


Рис. 4. Геометрия луча при смещении источника из фокуса.

$$\omega = \frac{(1 + 2f_2 f_0) r_A}{f_0}, \quad \Omega = (k_1 + 2F_2 R_{B1}) r_A, \quad \xi = k_1 r_A, \quad R_B = R_{B1} r_A + R_{B3} r_A^3,$$

$$F'' = 2F_2 + 12F_4 R_B^2, \quad f'' = 2f_2 + 12f_4 r_A^2, \quad \tilde{A}_{1X} = \frac{\cos \omega \cos \alpha}{\rho \cos(\omega - \alpha)}, \quad ZN_X = 4A_{2X} M_{X2} - nN_X^2,$$

$$\tilde{M}_{Y2} = \frac{1}{2} \left(\frac{1}{d} + \frac{1}{t} \right) + [2F_2 + 4(F_4 - F_2^3) R_{B1}^2 r_A^2] \cos \Omega, \quad \tilde{A}_{2Y} = \frac{n(R_{B1} + R_{B3} r_A^2)}{2d}, \quad \tilde{Q}_{Y1} = \frac{1}{\rho},$$

$$ZN_Y = 4\tilde{A}_{2Y} \tilde{M}_{Y2} - nN_Y^2.$$

Для эйконала в случае фокуса на поверхности линзы:

$$L(R, \varphi) = nr + nt + n \sin \alpha \delta_R \cos \varphi + n \cos \alpha \delta_Z + \\ + n \left[L_X(R) \cos^2 \varphi + L_Y(R) \sin^2 \varphi \right] \delta_R^2 + \\ + n L_{XZ}(R) \cos \varphi \delta_R \delta_Z + n W^2 \sin^2 \alpha \delta_Z^2 + \dots, \quad (20)$$

где $L_X = \frac{\cos^2 \alpha}{2[r + t \cos \Omega / (\cos \Omega - 2K_B t)]}$, $L_{XZ} = \frac{\sin 2\alpha}{2[r + t \cos \Omega / (\cos \Omega - 2K_B t)]}$,

$L_Y = \frac{1}{2r} \left(1 - \frac{t}{\gamma} \right)$, $K_B = \frac{r^2 + 2r'(\alpha)^2 - rr''}{(r^2 + r'^2)^{3/2}}$ – кривизна зеркала в точке B (рис. 3), .

$W = \frac{\cos \Omega}{r \cos(\Omega - \alpha)}$, $\Omega = \arctg \left(\frac{r'(\alpha)}{r} \right)$.

Основной aberrацией в апланатической системе является астигматизм, который определяется коэффициентом при δ_R^2 . Величина этого коэффициента определяется разностью между коэффициентами L_X и L_Y . Если нормировать все размеры на диаметр системы ее геометрия определяется 4 параметрами: f_0 , d_0 , γ , n . Если ограничить длину системы $f_0 + d_0$, остается три параметра d_0/f_0 , γ , n .

При относительной длине системы $f_0 + d_0 = 1$ в результате минимизации целевой функции:

$$A(f_0, \gamma, n) = \sum_{k=1}^3 |L_X(r_k) - L_Y(r_k)|, \quad (21)$$

где $r_1 = 0.15$, $r_2 = 0.25$, $r_3 = 0.35$, были найдены следующие значения оптимальных параметров: $n = 1.3$, $d_0/f_0 = 1.0148$, $\gamma = 0.9371$. На рис. 5 показаны зависимости $L_X(R)$ и $L_Y(R)$ в оптимизированной системе. Найденные численно-аналитическим методом [5] образующие соответствующей зеркально-линзовой системы показаны на рис. 6.

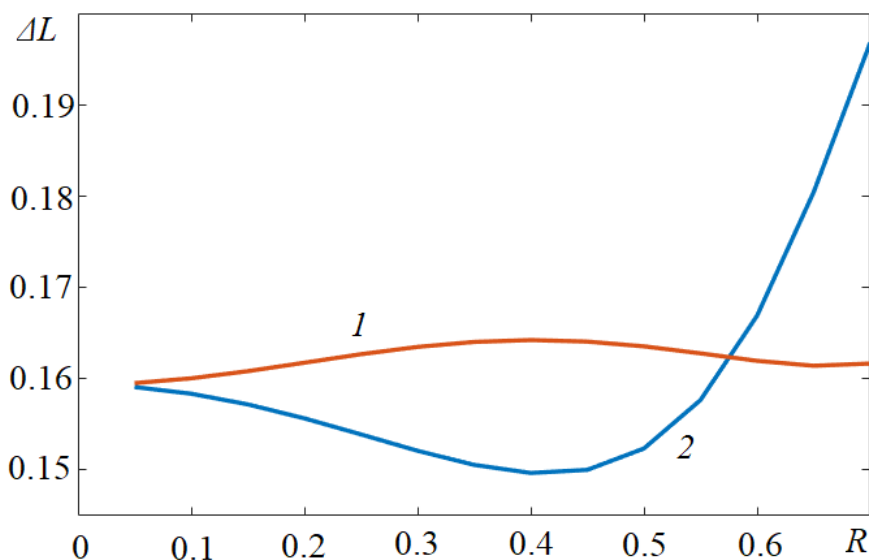


Рис. 5. Функции $L_X(1)$ и $L_Y(2)$ в оптимизированной системе.

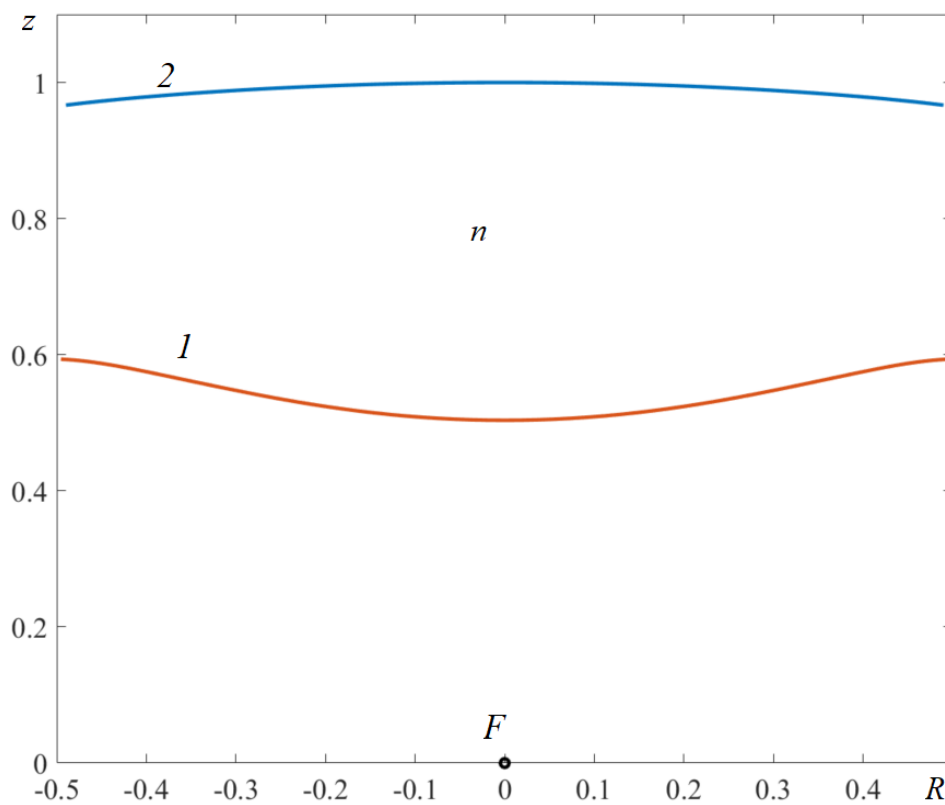


Рис. 6. Образующие линзы (1) и зеркала (2) оптимизированной зеркально-линзовой системы ($n = 1.3$, $d_0/f_0 = 1.0148$, $\gamma = 0.9371$).

На рис. 7 приведены образующие оптимизированной системы с фокусом на поверхности и толщиной d_0 , равной толщине оптимизированной выше линзы.

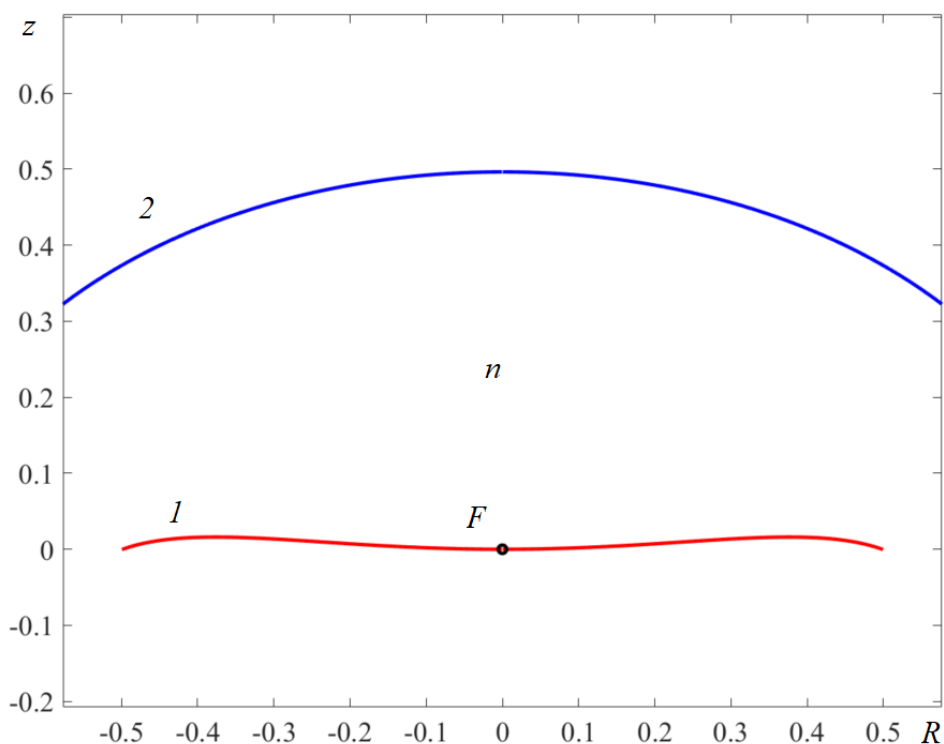


Рис. 7. Образующий зеркала (1) и линзы (2) оптимизированной зеркально-линзовой системы с параметрами:
 $f_0 = 0$, $n = 3$, $n = 1.3$, $d_0 = 0.496$, $\gamma = 0.572$.

На рис. 8 показаны зависимости СКА от угла зрения зеркально-линзовой системы с оптимальными параметрами, найденными выше, вычисленные методом трассировки лучей. Для сравнения приведены зависимости СКА найденные для оптимизированной методом трассировки лучей зеркально-линзовой системы в работе [5], однозеркальной системы [5] и оптимизированной зеркально-линзовой системы с фокусом на поверхности.

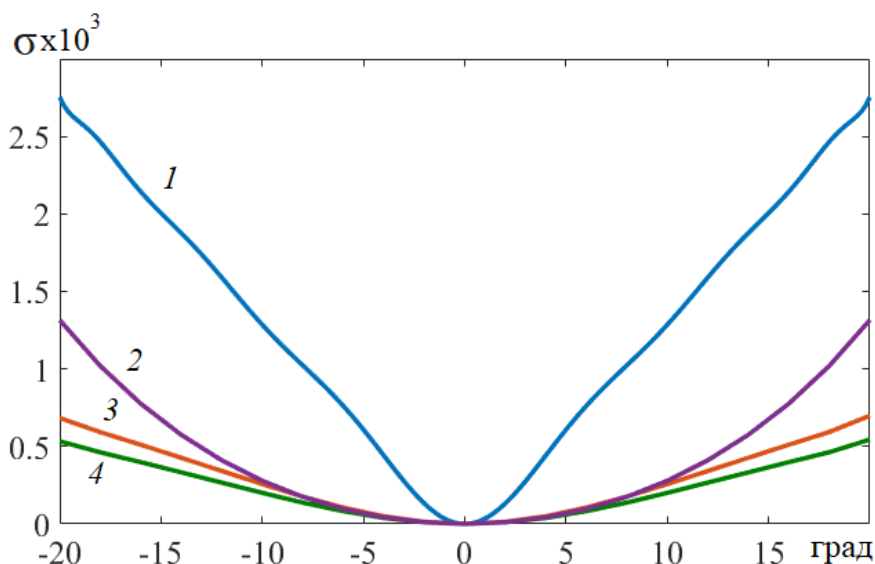


Рис. 8. СКА однозеркальной (1) и зеркально-линзовой системы: (2) – с фокусом на поверхности, (3) – оптимизированной методом трассировки лучей, (4) – оптимизированной по формуле (20).

Как видно на рисунке, для угла зрения 40° СКА зеркально-линзовой системы с фокусом на поверхности примерно в три раза выше, чем системы с фокусом $f_0 = 0.9066$ при одинаковой толщине линз. При этом СКА однозеркальной системы выше более, чем в 5 раз.

Сравнение с СКА двухзеркальной [7] и линзовой [8] апланатических систем для угла зрения 40° показывает, что СКА оптимизированной выше зеркально-линзовой системы в несколько раз меньше, причем при меньшем отношении фокального расстояния к диаметру.

3. Моделирование апланатической зеркально-линзовой системы

Моделирование многолучевой антенны на основе оптимизированной зеркально-линзовой системы было проведено с использованием метода конечных элементов (МКЭ) в программной среде ANSYS HFSS. В качестве облучателя использован рупор круглого сечения (рис. 9). Диаграмма направленности (ДН) облучателя в двух плоскостях на частоте 13 ГГц приведена на рис. 10.

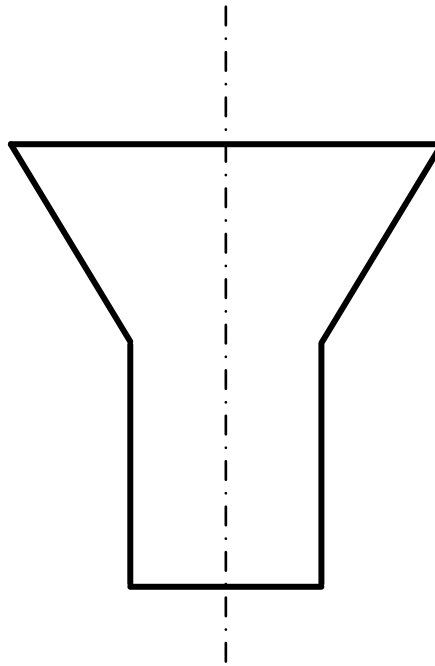


Рис. 9. Продольное сечение рупорного облучателя.

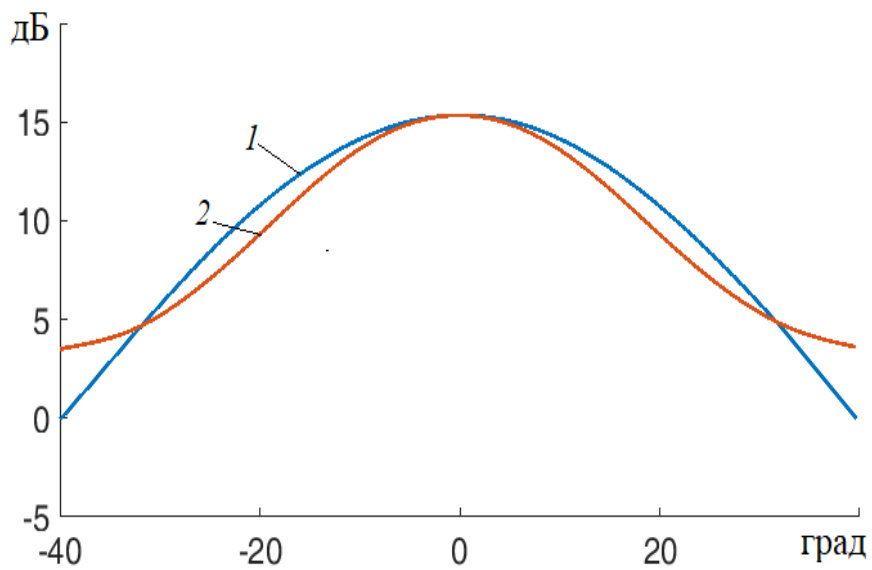


Рис. 10. Диаграмма направленности облучателя:
H-плоскость (1), E- плоскость (2).

Как видно на рисунке, ДН близка к осесимметричной. Распределение поля на зеркале после преломления, после отражения от зеркала на поверхности линзы и затем ДН рассчитывались последовательно методом Кирхгофа по формулам [6]:

$$\begin{aligned} \vec{E}_m &= \frac{j\omega\mu_0}{4\pi} \int_S \left[\vec{r}_0 \left[\vec{n}, \vec{H} \right] \vec{r}_0 \right] \frac{e^{-jnk r}}{r} dS - \frac{jnk}{4\pi} \int_S \left[\left[\vec{n}, \vec{E} \right] \vec{r}_0 \right] \frac{e^{-jnk r}}{r} dS, \\ \vec{H}_m &= -\frac{j\omega\varepsilon\varepsilon_0}{4\pi} \int_S \left[\vec{r}_0 \left[\vec{n}, \vec{E} \right] \vec{r}_0 \right] \frac{e^{-jnk r}}{r} dS - \frac{jnk}{4\pi} \int_S \left[\left[\vec{n}, \vec{H} \right] \vec{r}_0 \right] \frac{e^{-jnk r}}{r} dS, \end{aligned} \quad (22)$$

где k – волновое число в вакууме, ε – диэлектрическая проницаемость материала линзы, ε_0, μ_0 – диэлектрическая и магнитная проницаемость вакуума, ω – круговая частота, \vec{r}_0 – орт, имеющий направление радиуса-вектора, проведенного из точки интегрирования в точку наблюдения, \vec{n} – нормаль на поверхности интегрирования, r – расстояние от точки на поверхности интегрирования S до точки наблюдения, $n = \sqrt{\varepsilon}$. При определении распределения поля на зеркале и дальней зоне S – поверхность линзы, а при определении распределения поля на линзе S – поверхность зеркала. При расчете ДН величина $\varepsilon = 1$.

На рис. 11 приведены результаты расчета ДН зеркально-линзовой антенны диаметром $D = 346$ мм, фокусным расстоянием $f_0 = 174$ мм, толщиной $d_0 = 172$ мм на частоте 13 ГГц при перемещении облучателя по фокальной кривой.

Как видно на рисунке, МКЭ и метод Кирхгофа при расчете главного лепестка дают близкие результаты.

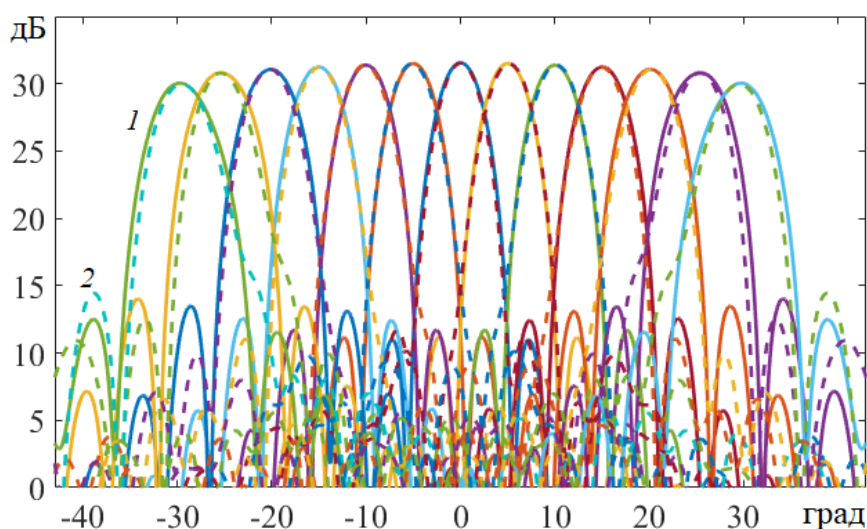


Рис. 11. Диаграммы направленности лучей зеркально-линзовой антенны: МКЭ (1), Кирхгоф (2).

На рис. 12 и рис. 13, соответственно, показаны зависимости коэффициентов усиления (КУ) и использования поверхности (КИП) антенны от угла зрения с использованием МКЭ и метода Кирхгофа на частоте 13 ГГц.

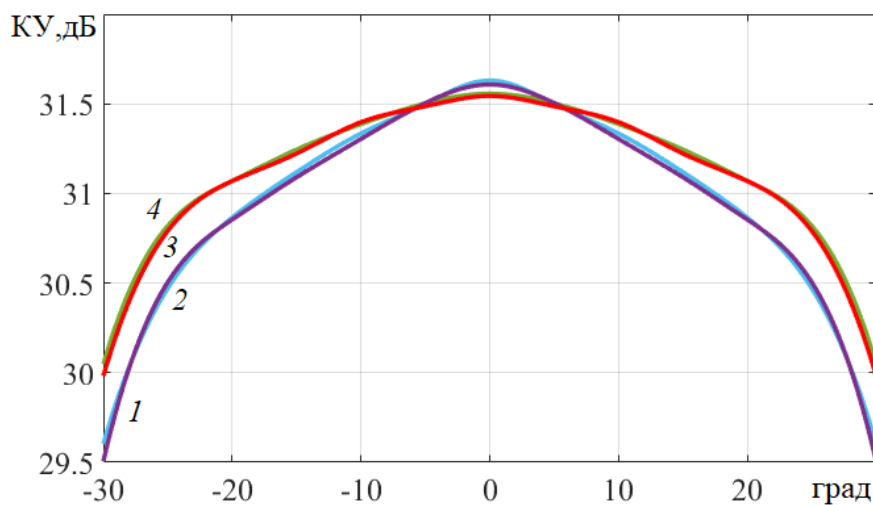


Рис. 12. Зависимости коэффициента усиления антенны от угла сканирования при $D = 15\lambda$. Зеркальная антенна: МКЭ (1), Кирхгоф (2); зеркально-линзовая антенна: МКЭ (3), Кирхгоф (4).

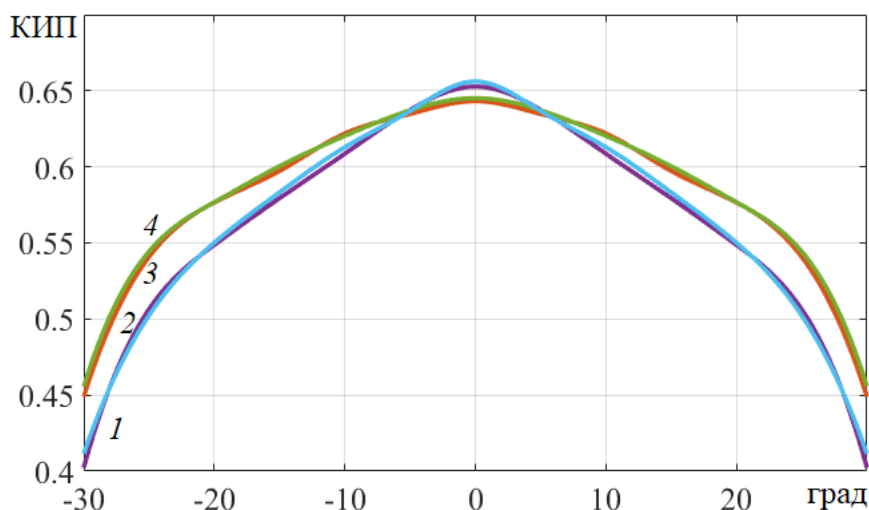


Рис. 13 Зависимости КИП от угла сканирования при $D = 15\lambda$.
Зеркальная антенна: МКЭ (1), Кирхгоф (2); зеркально-линзовая антенна:
МКЭ (3), Кирхгоф (4).

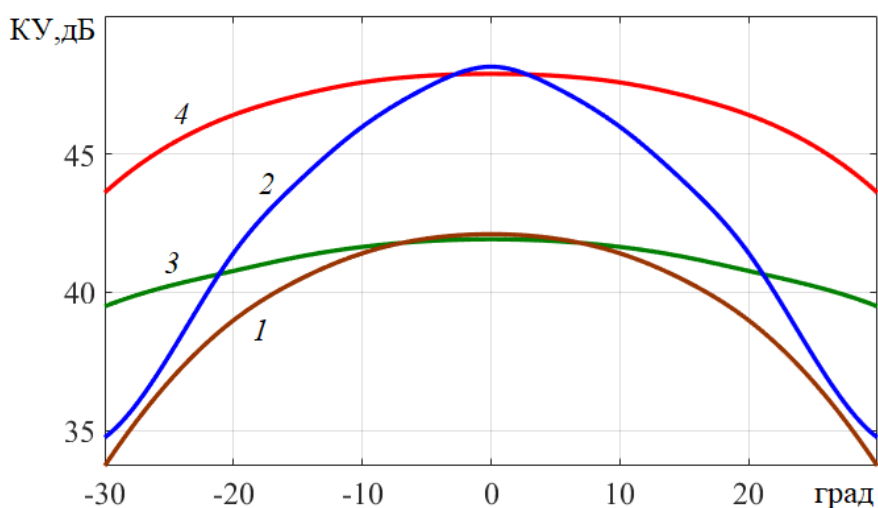


Рис. 14. Зависимости КУ от угла сканирования: зеркальная антенна $D = 50\lambda$ (1),
 $D = 100\lambda$ (2), зеркально-линзовая антенна $D = 50\lambda$ (3), $D = 100\lambda$ (4).

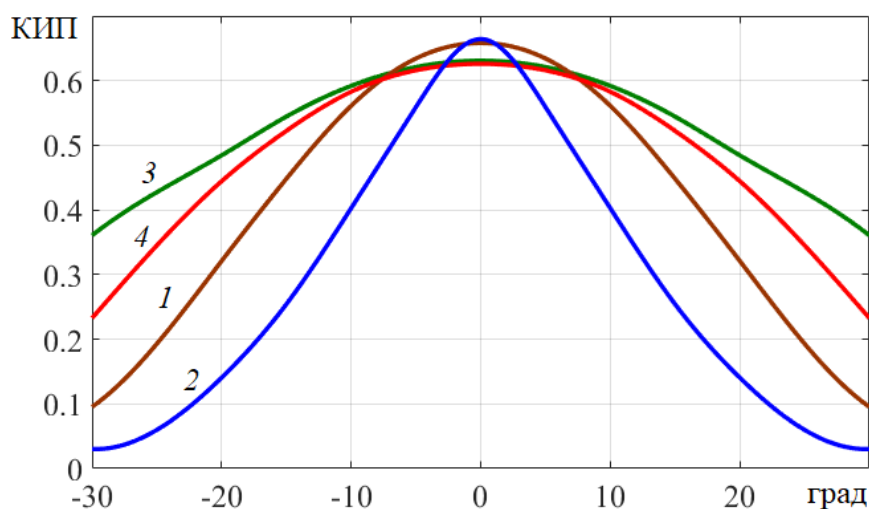


Рис. 15. Зависимости КИП от угла сканирования: зеркальная антенна $D = 50\lambda$ (1),
 $D = 100\lambda$ (2), зеркально-линзовая антенна $D = 50\lambda$ (3), $D = 100\lambda$ (4).

На рис. 14, рис. 15 показаны аналогичные зависимости на более высоких частотах, рассчитанные в приближении Кирхгофа. Для сравнения на рисунках приведены соответствующие зависимости для однозеркальной антенны

Как видно на рисунках величины КУ и КИП, рассчитанные при сравнительно небольших электрических размерах ($D = 15\lambda$) с использованием МКЭ и последовательного метода Кирхгофа близки. При этом выигрыш в величине КИП зеркально-линзовой антенны по отношению к однозеркальной невелик. Однако при увеличении частоты (рис. 14, рис. 15) падение величин КУ и КИП на краях сектора сканирования однозеркальной антенны существенно больше, чем зеркально-линзовой антенны.

Заключение

На основании полученных результатов можно сделать следующие выводы:

- 1) Полученные в работе формулы позволяют оптимизировать зеркально-линзовую систему без использования метода трассировки лучей.
- 2) Оптимизированная в работе зеркально-линзовая система обеспечивает средне-квадратическую абберацию менее 5.3×10^{-4} в угле зрения 40° .
- 3) Многолучевая антенна на основе оптимизированной зеркально-линзовой системы обеспечивает КИП более 0.5 при $D / \lambda = 50$ в угле зрения 38° и при $D / \lambda = 100$ – в угле зрения 32° .

Финансирование: Работа выполнена за счет бюджетного финансирования в рамках государственного задания по теме 0030-2019-006.

Литература

1. Schmidt B. Astronomical optics systems // Central Journal of Optics and Mechanics. 1932.- V.52.- No 2.- P. 25.
2. Максutow Д.Д. Астрономическая оптика. Л.: Наука. 1979.
3. Михельсон Н.Н. Оптика астрономических телескопов и методы ее расчета. М.: Физматлит. 1995.

4. Калошин В.А., Фролова Е.В. Синтез и анализ зеркально-линзовых диаграммообразующих систем для планарных многолучевых антенн // Журнал радиоэлектроники- 2015. – №12. <http://jre.cplire.ru/jre/dec15/19/text.pdf>.
5. Венецкий А.С., Калошин В.А., Чинь Ван Туан Синтез и анализ апланатической зеркально-линзовой системы с осевой симметрией // РЭ. 2024. – Т. 69. – № 6. С. 533–540.
6. Фрадин А.З. Антенны сверхвысоких частот. М.: Сов. Радио. 1957.
7. Венецкий А.С., Калошин В.А. Об аберрациях эйконала в осесимметричных двухзеркальных телескопических системах // РЭ. – 2016. -Т. 61.- № 4. С.327-336.
8. Венецкий А.С., Калошин В.А. Распределение эйконала на поверхности осесимметричной диэлектрической линзы и минимизация аберраций // РЭ. 2018. -Т. 63.- № 3.- С.144-156.

Для цитирования:

Венецкий А.С., Калошин В.А., Чинь Ван Туан. Многолучевая зеркально-линзовая апланатическая антенна. // Журнал радиоэлектроники. – 2025. – №. 4. <https://doi.org/10.30898/1684-1719.2025.4.15>